

## ЭФФЕКТЫ ЭЛЕКТРОН-ФОНОННОГО ВЗАИМОДЕЙСТВИЯ В ПРИМЕСНОЙ ФОТОПРОВОДИМОСТИ $n\text{-GaP}\langle\text{Ni}\rangle$

Захаров Ю. В., Материкин Д. И., Прибылов Н. Н., Бордюжа Л. П.,  
Рембеза С. И.

Исследована примесная фотопроводимость (ФП) образцов фосфида галлия, диффузионно легированных никелем. В спектрах ФП присутствует резонансная полоса, имеющая гауссову форму, с максимумом вблизи 0.74 эВ при 300 К. Ее положение, интенсивность и полуширина зависят от температуры. Установлена связь этой полосы в спектрах ФП с бесфононной линией  $\hbar\omega_{\text{БФ.Л}}=0.664$  эВ в оптическом поглощении, обусловленной переходами  $^2T_2 \rightarrow ^2E$  внутри центра  $\text{Ni}^{2+}$  ( $3d^9$ ), и показано, что резонансная полоса ФП в  $n\text{-GaP}\langle\text{Ni}\rangle$  связана с фототермическим процессом: оптический переход  $^2T_2 \rightarrow ^2E$  внутри центра  $\text{Ni}^{2+}$  ( $3d^9$ ) сопровождается последующим термическим выбросом электрона с центра, находящегося в возбужденном состоянии  $^2E$ , в зону проводимости. Определены положения примесного уровня центра  $\text{Ni}^{2+}$  ( $3d^9$ ) в запрещенной зоне GaP, а также его возбужденного состояния  $^2E$ .

Исследования спектров фотопроводимости (ФП) образцов  $\text{GaP}\langle\text{Ni}\rangle$  [1] показали наличие примесной полосы с максимумом вблизи  $\hbar\omega=0.73$  эВ при 300 К. Авторы связали эту полосу с фотоионизацией дырок с уровня никеля  $E_g+0.62$  эВ. При измерениях фотоемкости барьера Шоттки на  $\text{GaP}\langle\text{Ni}\rangle$  [2] обнаружена зависимость параметров спектра аналогичной полосы от температуры. Температурные зависимости спектров полос фотоионизации глубоких уровней в полупроводниках исследованы в [3, 4] на основе теории электрон-фононного взаимодействия (ЭФВ). Согласно [3, 4], при наличии ЭФВ увеличение температуры приводит к сдвигу максимума полосы спектра фотоионизации в область больших значений энергии, что соответствует экспериментальной ситуации. Однако обсуждаемая полоса имеет резонансный вид, а ее форма близка к гауссовой, что ставит под сомнение предполагаемую в [1] трактовку экспериментальных результатов. Авторы [2] высказали предположение о том, что полоса связана с оптическими переходами  $^2T_2 \rightarrow ^2E$  внутри центра  $\text{Ni}^{2+}$  ( $3d^9$ ) с последующим термическим выбросом электрона из возбужденного состояния в зону проводимости. В ряде работ [5-7] переходам  $^2T_2 \rightarrow ^2E$   $\text{Ni}^{2+}$  ( $3d^9$ ) в оптическом поглощении ставится в соответствие бесфононная линия (БФЛ) с энергией  $\hbar\omega_{\text{БФ.Л}}=0.664$  эВ. Целью нашей работы явилась попытка проверить предположения относительно природы резонансной полосы ФП и установить параметры ЭФВ на основе изучения температурных зависимостей ФП образцов  $\text{GaP}\langle\text{Ni}\rangle$ .

Исследовались образцы фосфида галлия с исходной концентрацией электронов  $n=3 \cdot 10^{17}$  см $^{-3}$ , диффузионно легированные никелем при температурах  $900 \div 1100$  °С. Диффузия проводилась из напыленного на поверхность образцов слоя металла в откаченных до  $10^{-5}$  Тор кварцевых ампулах в течение 24 ч. Как показали измерения эффекта Холла, тип проводимости после легирования не изменился.

Измерения спектральных зависимостей ФП проводились в интервале температур  $90 \div 450$  К с использованием модулированного освещения образца с частотой 9 Гц и системы синхронного детектирования сигнала с нагрузочного

резистора. Интенсивность светового потока, падающего на образец, во всем спектральном диапазоне автоматически поддерживалась постоянной.

Спектральные зависимости ФП образца GaP<Ni> при двух различных температурах приведены на рис. 1. Величина фотоответа в спектральном диапазоне резонансной полосы экспоненциально уменьшается при понижении температуры с энергией активации  $E_a = 0.14$  эВ в высокоомных образцах и  $E_a = 0.07$  эВ

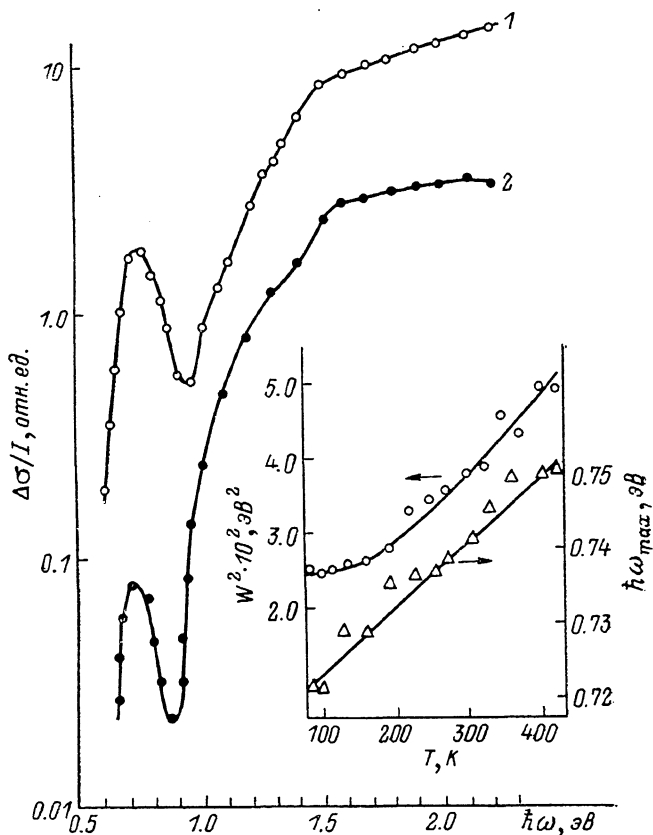


Рис. 1. Спектры фотопроводимости образца  $n$ -GaP<Ni>, нормированные к единичному потоку квантов света.

$T_{\text{диф}} = 900$  °C,  $n = 5.5 \cdot 10^{18}$  см $^{-3}$ .  $T$ , К: 1 — 300, 2 — 90. На вставке показаны температурные зависимости квадрата полуширины  $W^2$  ( $T$ ) и положения максимума  $\hbar\omega_{\text{max}}$  резонансной полосы фотопроводимости.

в низкоомном  $n$ -GaP ( $T_{\text{диф}} = 900$  °C). Эти температурные зависимости значительно более сильные, чем для остального участка спектра примесной ФП, так что при температурах  $< 90$  К резонансная полоса практически отсутствует, в то время как в остальном спектральном диапазоне сигнал примесной ФП по-прежнему наблюдается. Эти данные подтверждают вывод [2] о фототермической природе обсуждаемой полосы. Как было показано в [8], энергия активации  $E_a$  ФП для таких фототермических переходов соответствует энергии термической ионизации центров, находящихся в возбужденном состоянии, в зону разрешенных энергий. Половинное значение энергии активации в низкоомных образцах определяется малой степенью их компенсации. Электронные переходы осуществляются в зону проводимости, что обусловлено расположением уровня Ферми в верхней части запрещенной зоны. Форма спектра имеет гауссов вид. При повышении температуры происходит уширение полосы, а ее максимум линейно сдвигается в коротковолновую часть спектра (см. вставку на рис. 1). Тангенс наклона этой зависимости равен приблизительно  $8.7 \cdot 10^{-5}$  эВ/К. Квадрат полуширины резонансной полосы в зависимости от температуры может быть описан выражением вида [9]

$$W^2 = (8 \ln 2) S (\hbar\Omega)^2 \operatorname{ct} h(\hbar\Omega/2kT), \quad (1)$$

где  $S$  — фактор Хуанга—Риса,  $\hbar\Omega$  — энергия фонона. Полученным экспериментальным данным  $W^2(T)$  зависимость (1) наилучшим образом удовлетворяет при значениях параметров  $S=2.9 \pm 0.1$  и  $\hbar\Omega=38 \pm 1$  мэВ. (Зависимость приведена на вставке к рис. 1). Оптимизация параметров проводилась с помощью

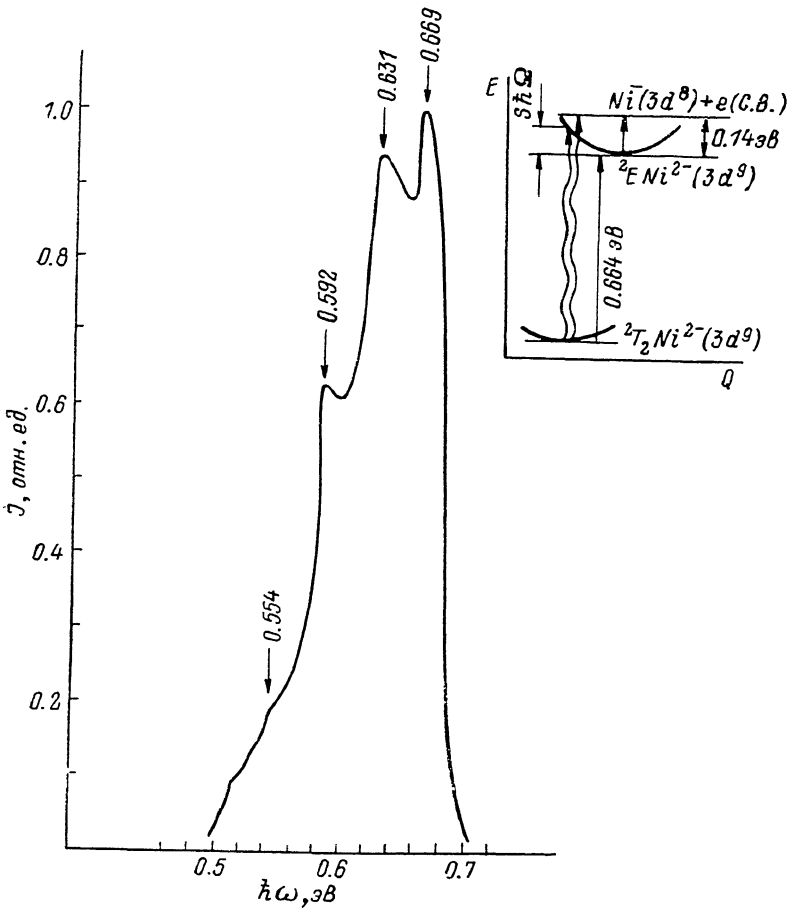


Рис. 2. Спектр фотолюминесценции  $n$ -GaP<Ni>.

$T_{\text{диф}}=900$  °C,  $n=5.5 \cdot 10^{16}$  см $^{-3}$ .  $T=77$  К. На вставке представлена координатно-конфигурационная диаграмма и схема электронных переходов для центра  $\text{Ni}^{2+}$  ( $3d^9$ ) в GaP.

ЭВМ с использованием метода наименьших квадратов. Сдвиг Франка—Кондона, определяемый как  $S\hbar\Omega$ , оказывается равным 0.11 эВ. В исследованных образцах при 77 К наблюдался спектр фотолюминесценции (ФЛ), состоящий из БФЛ с энергией  $\hbar\omega_{\text{БФЛ}}=0.669$  эВ и фононного крыла (ФК) с выраженным эквидистантными повторениями, отстоящими от БФЛ в длинноволновую часть спектра на  $38 \pm 2$ ,  $77 \pm 2$ ,  $115 \pm 2$  мэВ (рис. 2). Этот спектр ФЛ наблюдался ранее в [10] и, согласно [11, 12], связан с излучательным переходом  $^2E \rightarrow ^2T_2$  внутри центра  $\text{Ni}^{2+}$  ( $3d^9$ ) в GaP. Положение максимумов ФК позволяет определить аналогично [13] энергию фонона, взаимодействующего с излучательным переходом  $\hbar\Omega=38 \pm 2$  мэВ, которая оказывается равной величине  $\hbar\Omega$ , полученной из данных ФП. Ранее для описания ЭФВ центра  $\text{Ni}^{2+}$  ( $3d^9$ ) в GaP произвольно предполагалось [2], что имеет место взаимодействие с  $LA$ -фононами ( $\hbar\Omega \approx 27$  мэВ). Взаимодействие с акустическими фононами возможно. Согласно [4], величина  $\hbar\Omega$ , необходимая для расчета сдвига Франка—Кондона, должна быть близка к энергии  $LA$ - или  $LO$ -фонона на границе зоны Бриллюэна. Однако в соответствии с [4] в том случае, если замещающая примесь занимает в подрешетке место более тяжелого элемента, взаимодействие осуществляется с  $LO$ -

фононами. На то, что никель — замещающая примесь по отношению к галлию в GaP, указано в многочисленных работах (см., например, [6, 7]). Согласно [14], энергия LO-фона на границе зоны Бриллюэна в окрестности точки X составляет 38.2–38.5 мэВ, что согласуется с данными ФП и ФЛ.

На вставке к рис. 2 представлена координатно-конфигурационная диаграмма центра Ni<sup>2+</sup> (3d<sup>9</sup>) в GaP. Используя описанные результаты измерений температурных зависимостей величины ФП, с помощью этой диаграммы находим энергию термической ионизации центра Ni<sup>2+</sup> в GaP  $E = E_c - 0.81$  эВ. Как видно из рис. 1, в спектрах ФП наблюдается широкая полоса с длинноволновой границей вблизи 0.81–0.85 эВ. Можно сделать вывод о том, что эта полоса связана с фотоионизацией центров Ni<sup>2+</sup>, находящихся в состоянии <sup>2</sup>T<sub>2</sub>, непосредственно в зону проводимости, т. е. обусловлена оптическими переходами типа Ni<sup>2+</sup> (3d<sup>9</sup>)  ${}^2T_2 + \hbar\omega \rightarrow Ni^{+} (3d^8) + e$  (С. В.). Для дополнительной проверки этого предположения были проведены измерения спектральных зависимостей сечений фотоионизации электронов методом переходной фотоемкости на барьерах Шоттки Me—n-GaP <Ni> в спектральном диапазоне 0.6–1.4 эВ при температурах 90 и 300 К. Вид этих спектров аналогичен спектрам ФП, представленным на рис. 1. Концентрация центров, ответственных за резонансную полосу, в пределах погрешности измерений совпадала с концентрацией центров, определяющих коротковолновую полосу. Кроме того, после предварительного опустошения в слое объемного заряда уровня никеля светом с энергией  $\hbar\omega = 0.73$  эВ изменения емкости при последующей коротковолновой засветке  $\hbar\omega = 1.1$  эВ не происходило, что указывает на связь обеих полос с одним и тем же зарядовым состоянием Ni<sup>2+</sup>.

Таким образом, резонансная полоса ФП в n-GaP <Ni> связана с фототермическим процессом, в результате которого происходит оптический переход <sup>2</sup>T<sub>2</sub>  $\rightarrow$  <sup>2</sup>E внутри центра Ni<sup>2+</sup> (3d<sup>9</sup>) и последующий термический выброс электрона с центра, находящегося в возбужденном состоянии <sup>2</sup>E, в зону проводимости. Определены положения примесного центра Ni<sup>2+</sup> (3d<sup>9</sup>) в запрещенной зоне GaP  $E = E_c - 0.81$  эВ, а также его возбужденного состояния <sup>2</sup>E  $E_c - 0.14$  эВ. Температурные зависимости полуширины резонансной полосы ФП хорошо описываются в рамках теории ЭФВ с параметрами  $S = 2.9$  и  $\hbar\Omega = 38$  мэВ.

### Л и т е р а т у р а

- [1] Fung S., Nicholas R. J. — J. Phys. C: Sol. St. Phys., 1982, v. 15, p. 7355–7365.
- [2] Szawelska H. R., Mudhar P. S., Allen J. W. — J. Phys. C: Sol. St. Phys., 1984, v. 17, p. 2981–2992.
- [3] Копылов А. А., Пихтин А. Н. Влияние температуры на спектры оптического поглощения глубокими центрами в полупроводниках. — ФТТ, 1974, т. 16, в. 7, с. 1833–1843.
- [4] Копылов А. А., Пихтин А. Н. Об определении энергии ионизации глубоких центров в полупроводниках по спектрам оптического поглощения. — ФТП, 1976, т. 10, в. 1, с. 15–19.
- [5] Kaufmann U., Koschel W. H., Schneider J., Weber J. — Phys. Rev. B, 1979, v. 19, N 7, p. 3343–3352.
- [6] Ennen H., Kaufmann U. — J. Appl. Phys., 1980, v. 51, N 3, p. 1615–1618.
- [7] Baranowski J. M., Jezewsky M., Liro Z. — Physica, 1983, v. 117B–118B, p. 179–181.
- [8] Look D. C. — Phys. Rev. B, 1979, v. 20, N 10, p. 4160–4166.
- [9] Стоунхэм А. М. Теория дефектов в твердых телах, т. 1. М., 1978. 566 с.
- [10] Dean P. J., White A. M., Hamilton B., Peaker A. R., Gibb R. M. — J. Phys. D: Appl. Phys., 1977, v. 10, p. 2545–2554.
- [11] Hayes W., Ryan J. F., West C. L., Dean P. J. — J. Phys. C: Sol. St. Phys., 1979, v. 12, p. 815–820.
- [12] Bishop S. G., Dean P. J., Porteous P., Robbins D. J. — J. Phys. C: Sol. St. Phys., 1980, v. 13, p. 1331–1340.
- [13] Ушаков В. В., Гиппиус А. А., Дравин В. А., Кандер С. Ф. Люминесценция центров Nb в GaAs и GaP. — ФТП, 1981, т. 15, в. 8, с. 1535–1541.
- [14] Излучательная рекомбинация в полупроводниках / Под ред. М. Покровского. М., 1972. 304 с.